



# Quantenkryptographie (Teil 2)

## - Ekert-Protokoll

Prof. Dr. Jörg Hettel  
Hochschule Kaiserslautern  
Fachbereich Informatik

# Agenda

---

- |                                |                                       |
|--------------------------------|---------------------------------------|
| 1. Einführung                  | 11. Verschränkungsmaß                 |
| 2. Wiederholung BB84           | 12. Entropie und Monogamie            |
| 3. Qubits und Messbasen        | 13. Entanglement Swapping             |
| 4. Zusammengesetzte Systeme    | 14. Entanglement Distillation         |
| 5. Verschränkung               | 15. CHSH-Ungleichung (klassisch)      |
| 6. Anwendung von Verschränkung | 16. CHSH-Ungleichung (Quantenversion) |
| 7. Shared Randomness           | 17. CHSH-Ungleichung (Simulation)     |
| 8. Schmidt-Darstellung         | <b>18. Ekert-Protokoll</b>            |
| 9. Dichtematrizen              | 19. Sicherheit und DIQKD              |
| 10. Partielle Spur             | 20. Zusammenfassung                   |

## Quanten- kryptographie

Prof. Dr. Jörg Hettel  
Hochschule  
Kaiserslautern  
Chart 2

# Das Ekert-Protokoll (E91)

---

- QKD-Protokoll auf Basis von Verschränkung.
  - Vorgeschlagen von Artur Ekert 1991.
    - Intuitives Sicherheitsargument
  - Es gibt mittlerweile verschiedene Varianten.
  
- Detektion eines Lauschers basiert auf der Überprüfung der CHSH-Ungleichung.
  - Ansonsten Funktionsweise recht ähnlich zu BB84.

# Austauschformat

- Zur Schlüsselerzeugung werden maximal verschränkte Qubit-Paare im folgenden Zustand benutzt:

$$|\Psi\rangle_{AB} = \frac{1}{\sqrt{2}}(|0\rangle_A|0\rangle_B + |1\rangle_A|1\rangle_B)$$

- Bemerkung: Verschränkung zeigt sich in jedem (gedrehten) Basissystem

$$|\Psi\rangle_{AB} = \frac{1}{\sqrt{2}}(|\phi\rangle_A|\phi\rangle_B + |\phi^\perp\rangle_A|\phi^\perp\rangle_B)$$

Bei "unterschiedlichen" Drehungen

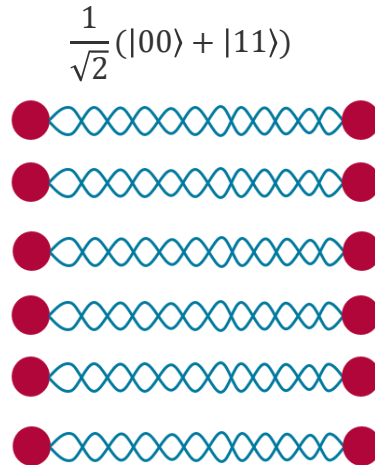
$$|\Psi\rangle_{AB} = \frac{1}{\sqrt{2}} \left( \begin{array}{ll} \cos(\phi - \theta) & |\phi\rangle_A |\theta\rangle_B \\ -\sin(\phi - \theta) & |\phi^\perp\rangle_A |\theta\rangle_B \end{array} + \begin{array}{ll} \sin(\phi - \theta) & |\phi\rangle_A |\theta^\perp\rangle_B \\ \cos(\phi - \theta) & |\phi^\perp\rangle_A |\theta^\perp\rangle_B \end{array} \right)$$

## Quanten- kryptographie

Prof. Dr. Jörg Hettel  
Hochschule  
Kaiserslautern  
Chart 4

# Präparation

- Alice erzeugt verschränkte Qubit-Paare und übermittelt jeweils ein Qubit davon an Bob.

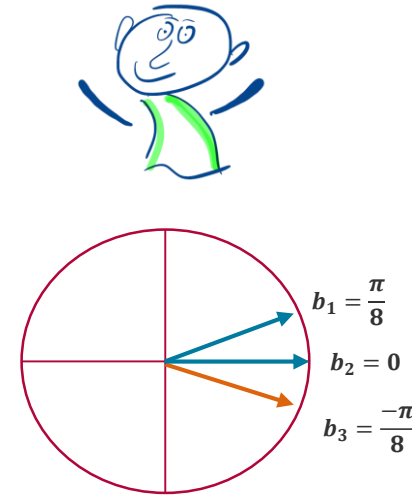
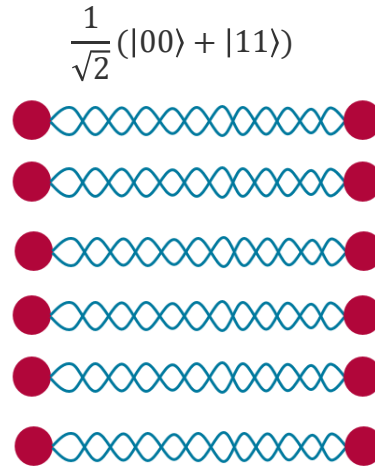
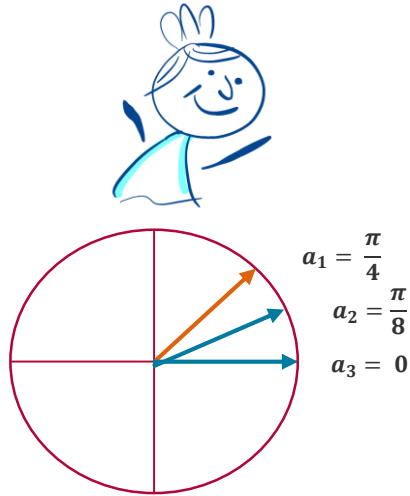


## Quanten- kryptographie

Prof. Dr. Jörg Hettel  
Hochschule  
Kaiserslautern  
Chart 5

# Schlüsselerzeugung (1)

- Alice und Bob messen nun ihre Qubits zufällig und gleichverteilt in verschiedenen Basen (Richtungen).
  - Alice und Bob protokollieren ihre Wahl (Winkel).



## Quantenkryptographie

Prof. Dr. Jörg Hettel  
Hochschule  
Kaiserslautern  
Chart 6

# Schlüsselerzeugung (2)

- Beispiel:
  - Alice:  $a_2, a_1, a_1, a_3, a_2, a_1, a_2, a_1, a_3, a_2, a_2, a_3, a_3, a_2, \dots$
  - Bob:  $b_1, b_1, b_2, b_3, b_1, b_3, b_3, b_1, b_2, b_3, b_2, b_1, b_2, b_2, \dots$
  
- Alice und Bob gleichen nach der Messung Ihre Messbasen ab.
  - Benutzen hierzu klassische Kommunikation über authentifizierenden Kanal.
  - Dadurch ergeben sich folgende Messkombinationen:  
 $(a_2, b_1), (a_1, b_1), (a_1, b_2), (a_3, b_3), (a_2, b_1), (a_1, b_3), (a_2, b_3), (a_1, b_1), (a_3, b_2),$   
 $(a_2, b_3), (a_2, b_2), (a_3, b_1), (a_3, b_2), (a_1, b_2), \dots$

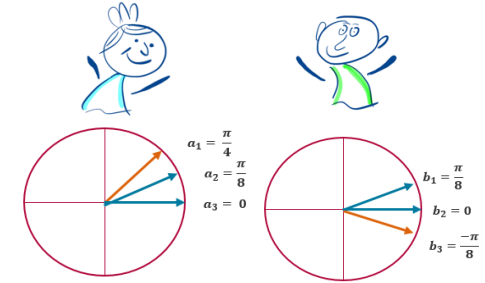
# Sifting und Sicherheitsprüfung

## ■ Sifting Prozess

- Haben Alice und Bob die selbe Basis gewählt, erhalten Sie bei einer Messung die selben Werte (jeweils 0 oder 1 mit 50% Wahrscheinlichkeit)

- Hieraus wird der Schlüssel erzeugt

$(a_2, b_1), (a_1, b_1), (a_1, b_2), (a_3, b_3), (a_2, b_1), (a_1, b_3), (a_2, b_3), (a_1, b_1), (a_3, b_2),$   
 $(a_2, b_3), (a_2, b_2), (a_3, b_1), (a_3, b_2), (a_1, b_2), \dots$



## ■ Prüfung

- Die anderen Messergebnisse werden (zum Teil) zur Berechnung der CHSH-Gleichung benutzt

$(a_2, b_1), (a_1, b_1), (a_1, b_2), (a_3, b_3), (a_2, b_1), (a_1, b_3), (a_2, b_3), (a_1, b_1), (a_3, b_2),$   
 $(a_2, b_3), (a_2, b_2), (a_3, b_1), (a_3, b_2), (a_1, b_2), \dots$

**Quanten-  
kryptographie**

Prof. Dr. Jörg Hettel  
Hochschule  
Kaiserslautern  
Chart **8**



# CHSH-Ungleichung

## ■ Bestimmung der CHSH-Ungleichung

- Zähle jeweils die Paare

$$(a_3, b_1), (a_3, b_3), (a_1, b_1), (a_1, b_3)$$

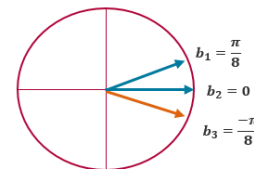
und bestimme deren durchschnittliches Vorkommen.

- Entspricht den Winkelkombinationen:  $(0, \frac{\pi}{8}), (0, \frac{-\pi}{8}), (\frac{\pi}{4}, \frac{\pi}{8}), (\frac{\pi}{4}, \frac{-\pi}{8})$

## ■ Bestimmung der CHSH-Ungleichung

$$S = Avg(a_3, b_1) + Avg(a_3, b_3) + Avg(a_1, b_1) - Avg(a_1, b_3)$$

- Es muss gelten:  $S > 2$  (optimal  $S = 2\sqrt{2}$ )



## Quanten- kryptographie

Prof. Dr. Jörg Hettel  
Hochschule  
Kaiserslautern  
Chart 9

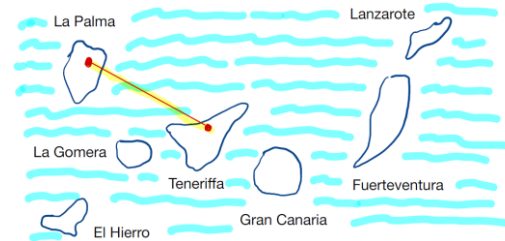
## Weitere Schritte

---

- Da man in der Realität immer Störungen und Rauschen hat, muss auch beim Ekert-Protokoll eine Nachverarbeitung erfolgen.
- Dies kann analog zum BB84-Protokoll erfolgen:
  - Bestimmung der Fehlerrate
  - Durchführung einer Fehlerkorrektur (Error Correction)
  - Privacy Amplification
- Alternativen
  - Zur Verbesserung der Verschränkungsgüte kann vor der Messung z.B. auch ein Entanglement Distillation Protokoll durchgeführt werden.

# Implementierungsbeispiele

- 2007, Ursin et al. (Laserstrahl)
  - Distanz 144 km
  - CHSH-Wert:  $S = 2,508 \pm 0,037$



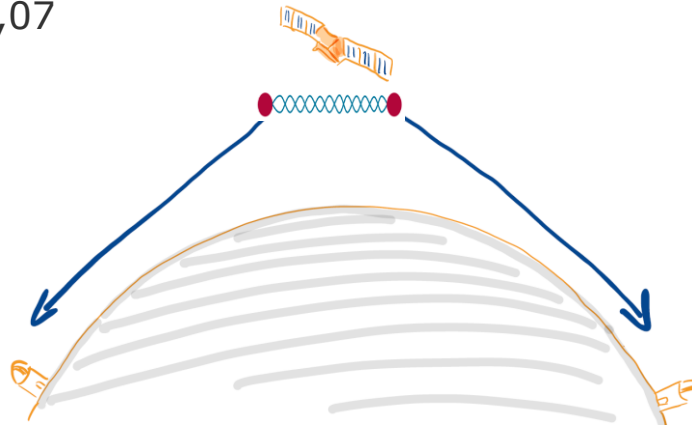
- 2016, Yin et al. (Glasfaser)
  - Distanz 311 km (Standardglasfaser) bzw. 404 km (Spezialfaser)
  - Glasfaserspule im Labor
  - Bitrate  $2,6 \cdot 10^{-3}$  bps bzw.  $3,2 \cdot 10^{-4}$  bps

## Quanten- kryptographie

Prof. Dr. Jörg Hettel  
Hochschule  
Kaiserslautern  
Chart **11**

# Implementierungsbeispiele

- 2020, Yin et al. (Satellitenbasiert)
  - Satellit produziert verschränkte Photonenpaare
  - Distanz 1120 km
    - Überwindung der Erdkrümmung
  - CHSH-Wert:  $S = 2,56 \pm 0,07$
  - Bitrate: 0,12 bps



## Quanten- kryptographie

Prof. Dr. Jörg Hettel  
Hochschule  
Kaiserslautern  
Chart **12**

# Zusammenfassung

---

- Das Ekert-Protokoll (E91) basiert auf dem Phänomen der Verschränkung.
  - Lauscherdetektion durch Bestimmung der CHSH-Ungleichung.
- Schlüssel wird erst zum Zeitpunkt der Messung erzeugt.
  - Nach dem Austausch der Qubits!
- Experimentelle Realisierungen vorhanden.
  - Noch nicht so ausgereift wie BB84.

## Quanten- kryptographie

Prof. Dr. Jörg Hettel  
Hochschule  
Kaiserslautern  
Chart **13**



Vielen Dank  
für die Aufmerksamkeit!

Prof. Dr. Jörg Hettel  
Hochschule Kaiserslautern  
Fachbereich Informatik